

## سیماهای کانی‌شناسی و ژئوشیمیایی نهشته لاتریت رسی تریاس- ژوراسیک در درازکوه، غرب دامغان، استان سمنان

فاطمه کنگرانی فراهانی<sup>۱\*</sup>، علی عابدینی<sup>۲</sup> و علی‌اصغر کلاگری<sup>۱</sup>

۱- گروه زمین‌شناسی، دانشکده علوم طبیعی، دانشگاه تبریز، تبریز

۲- گروه زمین‌شناسی، دانشکده علوم، دانشگاه ارومیه، ارومیه

\*farahani\_1893@yahoo.com

دریافت: ۹۱/۱۰/۱۸ پذیرش: ۹۲/۵/۳۰

### چکیده

نهشته لاتریت رسی درازکوه، در فاصله ۸۵ کیلومتری غرب شهرستان دامغان، استان سمنان واقع می‌باشد. این نهشته به صورت لایه‌ها و عدسی‌های چینه‌سان، در مرز بین سازند کربناتی الیکا (تریاس) و شیلی و ماسه‌سنگی سازند شمشک (ژوراسیک) گسترش یافته است. کانسنگ‌های این نهشته عمده‌ای دارای بافت‌های ایلیدی و پیزوییدی می‌باشند. مطالعات کانی‌شناسی نشان می‌دهند که دیاسپور، بوهمیت، کائولینیت، آناتاز، هماتیت و گوتیت فارهای کانی‌ایی اصلی هستند که توسط مقادیر کمتری از کانی‌های فرعی نظیر روتیل، مگنتیت، شاموزیت، کوارتز، کلسیت و ایلیت همراهی می‌شوند. همچنین تجزیه و تحلیل‌های کانی‌شناسی آشکار می‌کنند که این نهشته دارای دو رخساره کانی‌ایی، (۱) احیایی و (۲) اکسیدی بوده که به ترتیب توسط آبهای احیایی- قلیایی و اکسیدی- اسیدی تشکیل شده‌اند. با توجه به رفتار ژئوشیمیایی عناصر اصلی، به نظر می‌رسد که این نهشته در طی تکوین خود فرآیندهای کائولینیتی شدن و لاتریتی شدن ضعیف را تجربه کرده و کانسنگ‌ها ترکیبی در حد رس بوکسیتی و لاتریت دارند. الگوی توزیع REE ها در کانسنگ‌ها به همراه روند تغییرات آن‌ها در عرض یک نیمرخ انتخابی دلالت بر منشاء نابرجا و پروتولیت عمده‌ای مافیک برای نهشته دارند. نتایج به دست آمده از مطالعات ژئوشیمیایی نشان می‌دهند که عواملی نظیر پتانسیل یونی، روبش توسط اکسیدها و هیدروکسیدهای فلزی، درجه دسترسی به لیگندهای ارگانیکی، عملکرد سنگ بستر کربناتی به عنوان یک سد ژئوشیمیایی، میزان انتقال کانی‌های مقاوم از سنگ مادر به کانسنگ‌ها و جذب سطحی نقش ارزنده‌ای در توزیع عناصر در طی تکوین این نهشته ایفا نموده‌اند. ضرایب همبستگی بین عناصر نشان می‌دهند که فسفات‌های ثانویه (نظیر زینوتایم) میزان اصلی REE ها در کانسنگ‌های این نهشته هستند.

### واژه‌های کلیدی: لاتریت رسی، زمین شیمی، کانی‌های میزان، درازکوه، دامغان

مقدمه طریق گسل‌ها و شکستگی‌ها و تهنشینی از آبهای

در طی چند دهه‌ی اخیر، پژوهش‌های زیادی جهت تشخیص نحوه توزیع و رفتار در طی تکوین نهشته‌های لاتریتی و بوکسیتی [۷، ۱۰، ۳۰ و ۳۳] صورت گرفته است. در برخی از مطالعات انجام شده به بررسی تأثیر ترکیب کانی‌شناسی بر روی توزیع عناصر جزی نظیر Ga [۱۱]، Zr، Th، U، Sc [۴۲] و Y [۴۴] در لاتریت‌ها و بوکسیت‌ها پرداخته شده است. این بررسی‌ها نشان داده‌اند که در طی فرآیند لاتریتی شدن کانی‌های مختلف مرتبط با شرایط pH محیط دچار اتحلال می‌شوند و اجزای تشکیل دهنده آن‌ها در ساختارهای بلوری و یا فازهای بی‌شکل تهنشین شده تحت شرایط سطحی در لاتریت‌ها به تله می‌افتدند. عوامل بیرونی نظیر نفوذ محلول‌ها از

زیرزمینی در ذخایر نزدیک سطحی و یا از بخارات در ذخایر نزدیک به ساحل دریا نیز می‌توانند در توزیع عناصر جزی موثر باشند. تشخیص هر کدام از موارد یاد شده، تنها در صورتی امکان‌پذیر است که سنگ مادر (پروتولیت نهشته‌های لاتریتی) قابل ردیابی باشد. مقاومت، مهاجرت و توزیع دوباره عناصر جزی از کانی‌های سنگ مادر به لاتریت‌های تشکیل شده از موضوعات بسیار مهم و جالب برای پژوهش‌های ژئوشیمیایی محسوب می‌شوند.

وقه رسبودگاری طی پرمین، پرموترياس، تریاس، تریاس- ژوراسیک، ژوراسیک و کرتاسه میانی در ایران سبب توسعه و تشکیل افق‌های متعدد لاتریتی و بوکسیتی در نواحی مختلف رشته کوه‌های البرز، زون ایران مرکزی، شمال غرب کشور و رشته کوه زاگرس شده است. نهشته‌های

آهک‌های سازند جیرود قرار گرفته‌اند. سازند الیکا در بخش زیرین شامل سنگ آهک‌های نازک لایه دانه‌ریز بوده که بر روی آن دولومیت‌های قهقهه‌ای و زرد رنگ ظاهر می‌شوند. پس از تشکیل دولومیت‌های الیکا (تریاپس زیرین)، در تریاپس بالایی رسوبگذاری انجام نشده است. فرسایش و هوازدگی در طی خشکی‌زایی علاوه بر ایجاد توپوگرافی کارستی در سطح دولومیت‌ها، سبب توسعه یک افق لاتریت رسی بر روی سازند الیکا در این منطقه شده است. در اوایل ژوراسیک، رسوبات قاره‌ای-کولاوی سازند شمشک شامل شیل‌ها و ماسه‌سنگ‌ها همراه با رگه‌های زغال‌دار بر روی این افق بازماندی قرار گرفته‌اند. روی رسوبات سازند شمشک را مارن‌ها و سنگ آهک‌های دلیچای (ژوراسیک میانی) تشکیل می‌دهند که خود آن‌ها نیز توسط رسوبات آهکی و مارن‌های کرتاسه پوشیده شده‌اند. سازند فجن با سنگ‌شناسی کنگلومرا و سنگ آهک به سن پالتوسون با یک ناپیوستگی هم‌شیب بر روی رسوبات کرتاسه قرار گرفته است. جوان‌ترین رسوبات منطقه را مارن‌ها، شیل‌ها و سنگ آهک‌های اوسن و رسوبات عهد حاضر تشکیل می‌دهند [۱] (شکل ۲).

افق لاتریت رسی در سراسر منطقه در حد فاصل برونزد جوان‌ترین لایه‌های سازند الیکا با مناطق کم شیب پوشیده از رسوبات جدید دوران چهارم قرار گرفته است و به ندرت می‌توان همبrij این ماده معدنی را با سازند شمشک مشاهده کرد. این افق لاتریتی به اشکال لایه‌ای و عدسی با روند ساختاری N-W در منطقه گسترش یافته (شکل ۲) و در مجموع طولی بالغ بر ۲ کیلومتر و سمترا برای متغیر از ۲ تا ۱۰ متر دارد. ترادف سنگ‌شناختی قابل تشخیص در نیمرخ موربد برسی بر روی یکی از عدسی‌ها (شکل ۳) به ترتیب از پایین به بالا شامل کانسنگ‌های لاتریتی، (۱) بنفس (VL)، (۲) قهقهه‌ای (BL)، (۳) قرمز پایینی (LRL)، (۴) قرمز بالایی (URL)، (۵) صورتی (PL)، (۶) کرم (CRL)، (۷) کرم (CL)، (۸) سفید (WL) و (۹) خاکستری (GL) می‌باشد. در این منطقه گسل‌های امتدادی تعدادی جابجایی نسبتاً بزرگ در ماده معدنی ایجاد نموده‌اند که ایجاد حالت برشی در اکثر کانسنگ‌های لاتریتی نهشته درازکوه، آثار این فعالیت‌های تکتونیکی در منطقه محسوب می‌شود. مزr کاملاً مشخصی بین نهشته با سازند الیکا وجود دارد (شکل ۴-الف). برونزدهای مربوط به واحد کرم گاهی به دلیل انحلال و آبشویی هماهنگ،

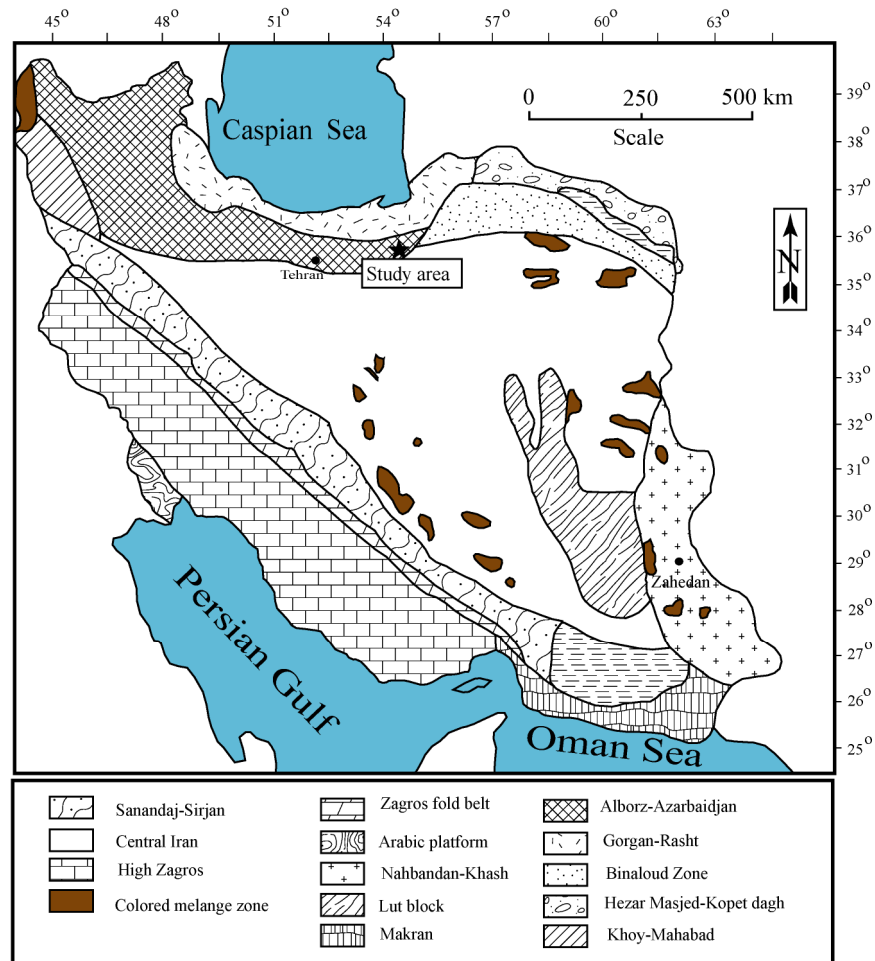
لاتریتی و بوکسیتی رشته کوه‌های البرز به طور گسترده در محدوده زمانی تریاپس تا ژوراسیک و به طور محدود در محدوده زمانی پرموتراپس گسترش یافته‌اند. از نهشته‌های لاتریتی زون البرز مرکزی به سن تریاپس- ژوراسیک می‌توان به ذخایر شاه بلاغی [۲] و زان [۳] اشاره نمود. نهشته لاتریت رسی درازکوه نیز یکی دیگر از ذخایر لاتریتی زون البرز مرکزی به سن تریاپس- ژوراسیک می‌باشد. این نهشته در فاصله ۸۵ کیلومتری غرب شهرستان دامغان، به مختصات چغرافیایی "۴۸°، ۳۰' و ۵۳°، ۰۰' طول شرقی و "۵۶°، ۵۶'، ۳۵° تا "۳۰°، ۵۸' عرض شمالی، در استان سمنان و در ورقه زمین‌شناسی کیاسر (به مقیاس ۱:۱۰۰۰۰۰) واقع است. نهشته لاتریت رسی درازکوه در مرز بین سازند کربناتی الیکا (تریاپس) و سازند شیلی-ماسه‌سنگی شمشک (ژوراسیک) (که توسط رسوبات کواترنری پوشیده شده است) توسعه یافته است. مقدار ذخیره بخش‌های فقیر از آهن این نهشته در حدود ۱۰۰۰۰ تن می‌باشد. تاکنون، مطالعه‌ای در خصوص ویژگی‌های کانی‌شناسی، رئوشیمیایی و ژنتیکی این نهشته انجام نگرفته است. این مطالعه به بررسی کانی‌شناسی، شرایط نهشت، محیط رسوبی و نحوه رفتار و علل تغییرات عناصر اصلی، فرعی، جزئی و نادر خاکی در طی پیشرفت فرآیند لاتریتی‌شدن در نهشته درازکوه می‌پردازد.

### زمین‌شناسی

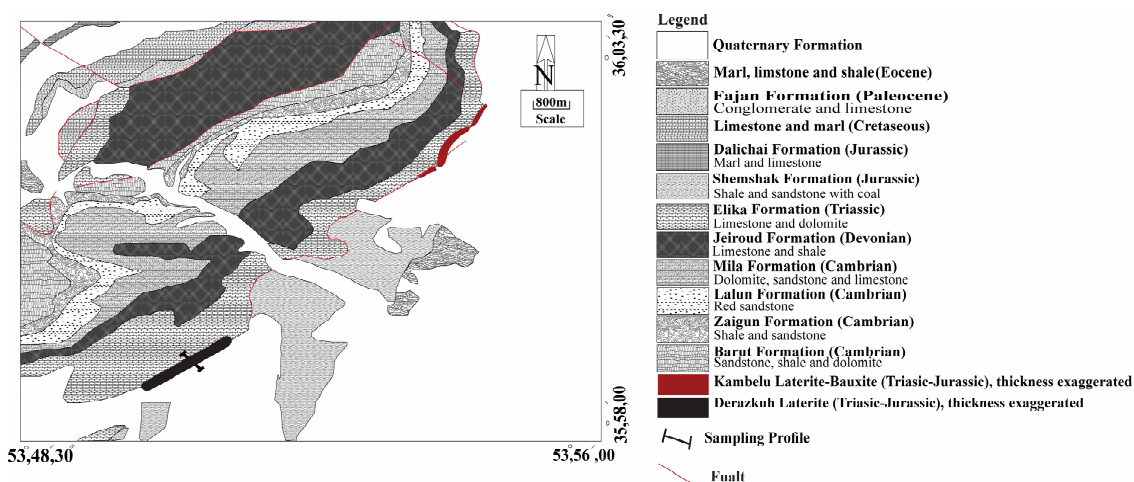
منطقه مورد مطالعه بر اساس رده‌بندی زون‌های ساختاری ایران [۴] (شکل ۱) متعلق به زون البرز مرکزی می‌باشد. قدیمی‌ترین رسوبات منطقه مربوط به دوره زمانی کامبرین بوده و شامل شیل‌ها، دولومیت‌ها و ماسه‌سنگ‌های سازند باروت، شیل‌ها و ماسه‌سنگ‌های سازند زاگون، ماسه‌سنگ‌های قرمز رنگ سازند لالون، و ماسه‌سنگ‌ها و سنگ‌های کربناتی سازند میلا است. رسوبات سیلورین، اردوویسین و دونین زیرین در این منطقه رخنمون ندارند. روی رسوبات میلا در این منطقه، شیل‌ها و سنگ آهک‌های دونین بالایی (سازند جیرود) با یک ناپیوستگی هم‌شیب قرار گرفته‌اند. در طی کربونیفر رسوبگذاری در این منطقه صورت نگرفته است. سنگ‌های تریاپس پیشین (سازند الیکا) با یک ناپیوستگی هم‌شیب و در بعضی نقاط با یک دگرشیبی بر روی شیل‌ها و سنگ

مواد ارگانیکی به شکل زغالسنگ در واحد خاکستری (شکل ۴-ت) از سیماهای بارز زمین‌شناسی این نهشته هستند.

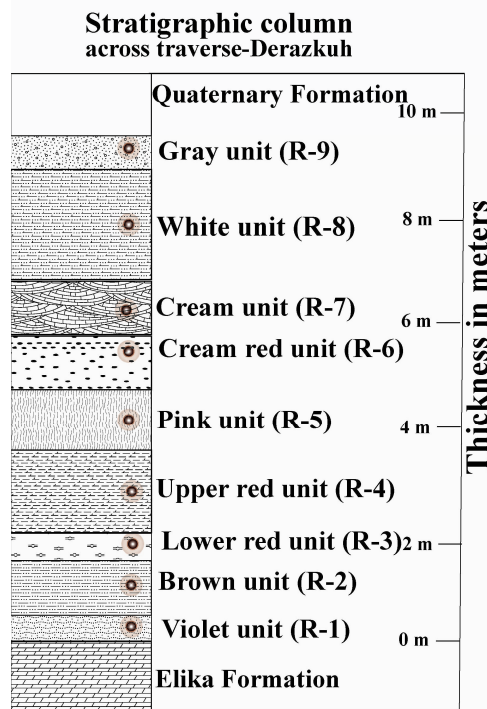
طرح‌های چند رنگی نشان می‌دهند. وجود نودول‌های آهن‌دار در واحد قهوه‌ای (شکل ۴-ب) و قرمز پایینی، لیمونیت‌زایی در سطح کانسنگ‌های لاتریتی سفید و قهوه‌ای (شکل ۴-پ)، حضور مقادیر قابل ملاحظه‌ای از



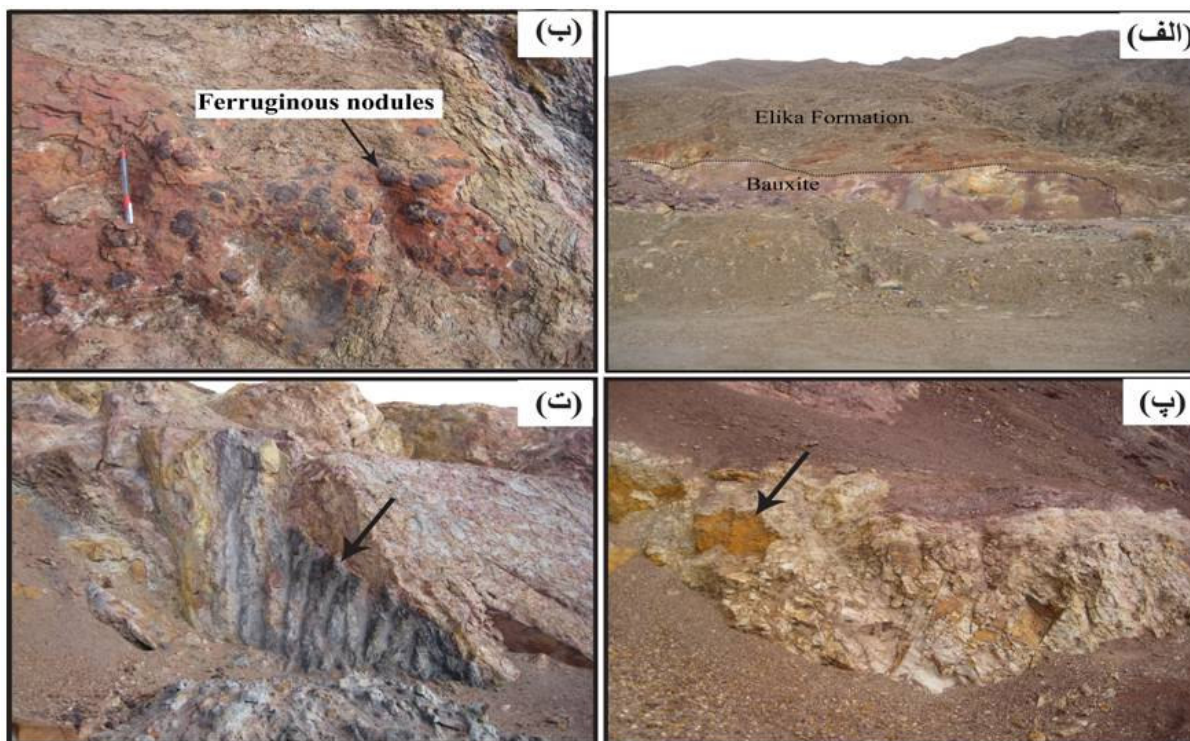
شکل ۱. موقعیت منطقه مورد مطالعه در نقشه زون‌های ساختاری ایران [۴]



شکل ۲. نقشه زمین‌شناسی منطقه مورد مطالعه [۱] که در آن موقعیت افق لاتریتی درازکوه مشخص شده است.



شکل ۳. ستون چینه‌شناسی نیمرخ انتخابی در عرض افق لاتریتی درازکوه. محل نمونه‌هایی که مورد آنالیز شیمیابی قرار گرفته‌اند با دایره نشان داده شده‌اند.



شکل ۴. الف) مرز مشخص بین عدسی لاتریتی با سازند الیکا (دید به سمت شمال)، ب) وجود نودول‌های آهن‌دار در واحد قهقهه‌ای، ت) لیمونیت‌زایی در سطح کانسنگ‌های لاتریتی سفید (دید به سمت شمال) و پ) مقادیر قابل ملاحظه‌ای از مواد ارگانیکی به شکل زغال سنگ در واحد خاکستری (دید به سمت شرق).

کنکرسیون‌های اییدی و پیزوییدی عمدتاً دیاپوری و هماتیتی می‌باشد (شکل‌های ۵-الف و ۵-ب). ریز رگچه‌های آهنی و رسی به طور گسترده در نمونه‌های مورد مطالعه قابل تشخیص هستند (شکل ۵-الف). بر اساس نتایج تجزیه پراش اشعه X، افق بازماندی درازکوه متشكل از کانی‌های اصلی دیاپور، بوهمیت، کائولینیت، آناتاز، هماتیت و گوتیت می‌باشد که توسط کانی‌های فرعی نظیر روتیل، کلسیت، کوارتز، ایلیت، مگنتیت و شاموزیت در مقادیر جزئی در کانسنگ‌های مختلف همراهی می‌شوند (شکل ۶).

### تعیین شرایط محیط تشکیل نهشته لاتریت رسی درازکوه

کائولینیت کانی فراوان نهشته درازکوه است که به طور عمدۀ در متن کانسنگ‌ها و به صورت پر کننده درزه‌ها و شکستگی‌ها توسعه یافته است. pH مناسب جهت تشکیل کائولینیت حدود ۴ می‌باشد. با توجه به حضور کائولینیت در تمامی کانسنگ‌ها احتمالاً تغییرات pH محلول‌های مسئول لاتریتی‌شدن در محدوده ۴ تا ۸ بوده است. بوهمیت و دیاپور در این نهشته از فراوانی یکسانی برخوردار هستند. با توجه به حضور بوهمیت در ترکیب کانی‌شناسی نهشته درازکوه، عملکرد فعالیت‌های تکتونیکی و از همه مهم‌تر گذشت زمان، به نظر می‌رسد که گیبسیت فاز اولیه آلومینیومدار در این نهشته بوده است که تحت تأثیر عملکرد فرآیندهای تکتونیکی و فشار طبقات بالایی به بوهمیت و نهایتاً بوهمیت به طور بخشی به دیاپور تبدیل شده است. مطالعات انجام شده نشان می‌دهد گیبسیت عمدتاً در شرایط اکسیدان و اسیدی ضعیف تا قلیایی متوسط تشکیل می‌شود [۵۲]. تشکیل شاموزیت و هماتیت در متن کانسنگ‌های مختلف در این نهشته به طور قطع همزمان نبوده است [۱۴]. شاموزیت در شرایط احیایی تشکیل می‌شود (pH بین ۷ تا ۸ در Eh بالاتر از -۰/۲ - یا pH بین ۸ تا ۹ در Eh بالاتر از صفر). این در صورتی است که تنهنشست هماتیت و گوتیت در شرایط تقریباً قلیایی و اکسیدان صورت می‌گیرد (pH بالاتر از ۷ و Eh بالاتر از ۰/۲) [۵۲]. همچنین، تشکیل هماتیت و گوتیت می‌تواند نتیجه اکسیداسیون  $\text{Fe}^{2+}$  آزاد شده از شاموزیت باشد [۵۲]. آناتاز نیز در ذخایر لاتریتی در

### مواد و روش‌ها

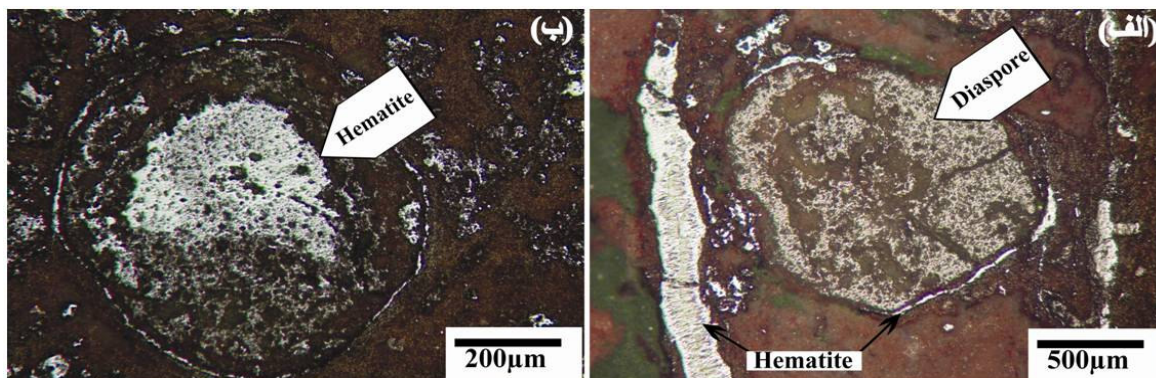
پس از چندین مرحله پیمایش‌های صحرایی و نمونه‌گیری‌های تصادفی به منظور شناسایی خصوصیات واحدهای مختلف بازماندی در عدسی‌های لاتریتی، نیمرخی عمود بر یکی از عدسی‌ها که دارای بیشترین تنوع در ویژگی‌های مزووسکوپی کانسنگ‌ها (نظیر رنگ، چگالی، بافت و سختی) بوده است، برای نمونه‌برداری سیستماتیک انتخاب شد. نمونه‌برداری سیستماتیک از این نیمرخ ۹/۵ متری در فواصلی از ۰/۵ الی ۱/۵ انجام گردید. به دلیل سختی پایین، فقط تعداد هفت برش صیقلی و نازک از کانسنگ‌ها تهیه و مبادرت به مطالعات میکروسکوپی شد. از میان کانسنگ‌های لاتریتی جمع‌آوری شده از نیمرخ انتخابی، تعداد ۵ نمونه انتخاب و به منظور شناسایی فازهای کانی‌ای نامشخص توسط پراش پرتو X (XRD) (مدل D4) در شرایط تشییع CuK $\alpha$  ۴۰ کرماتورهای گرافیتی، ولتاژ ۴۰ کیلو ولت، جریان ۲ میلی‌آمپر، سرعت اسکن ۲ درجه در هر دقیقه و بازه اسکن ۲ الی ۷۰ درجه در سازمان زمین‌شناسی و اکتشافات معدنی کشور تجزیه شدند. برای شناسایی کانی‌های رسی نمونه‌های یاد شده چهار تیمار شامل اشباع از پتابسیم، اشباع با پتابسیم و دمای ۵۵ درجه سانتی‌گراد، اشباع با منیزیوم و اتیلن گلیکول انجام شد. برای تعیین ترکیب شیمیایی کانسنگ‌ها، تعداد ۹ نمونه در آزمایشگاه ACME کانادا مورد تجزیه شیمیایی قرار گرفتند. مقادیر اکسیدهای اصلی و فرعی به وسیله ICP-ES و مقادیر عنصرهای جزئی و نادرخاکی به روش ICP-MS تعیین گردیدند. مقادیر پرت گرمایی (LOI)<sup>(۱)</sup> به وسیله اختلاف در وزن نمونه‌ها قبل و بعد از گرم کردن در ۱۰۰°C به مدت یک ساعت توسط آزمایشگاه یاد شده اندازه‌گیری شدند.

### نتایج و بحث کانی‌شناسی

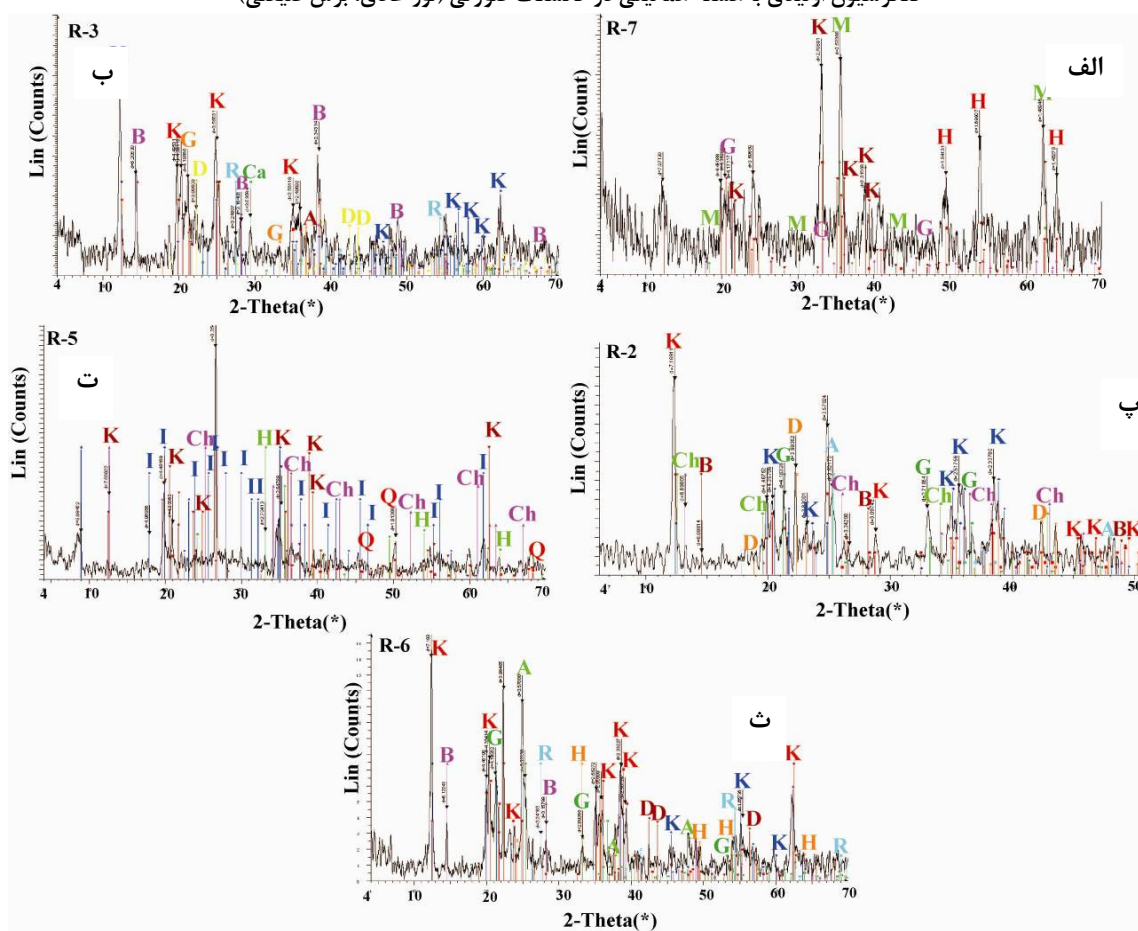
مطالعات میکروسکوپی بر روی اغلب کانسنگ‌های لاتریت رسی درازکوه به دلیل سستی امکان‌پذیر نمی‌باشد. با این وجود، در تعدادی از نمونه‌هایی که مقاطع میکروسکوپی از آن‌ها تهیه گردید، بافت‌های اییدی و پیزوییدی از فراوانی به نسبت قابل ملاحظه‌ای برخوردار است. هسته

رخساره احیایی قرار دارد، مشتمل بر هماتیت، گوتیت و گیبسیت (کانی آلومینیوم‌دار اولیه نهشته) است. بر اساس پایداری کانی‌های یاد شده [۵۲]، به نظر می‌رسد که آب‌هایی با ماهیت احیایی-قیایی تا اکسیدی-اسیدی به ترتیب در توسعه و تشکیل رخساره‌های اول و دوم نهشته لاتریت رسی درازکوه داشته‌اند (شکل ۷).

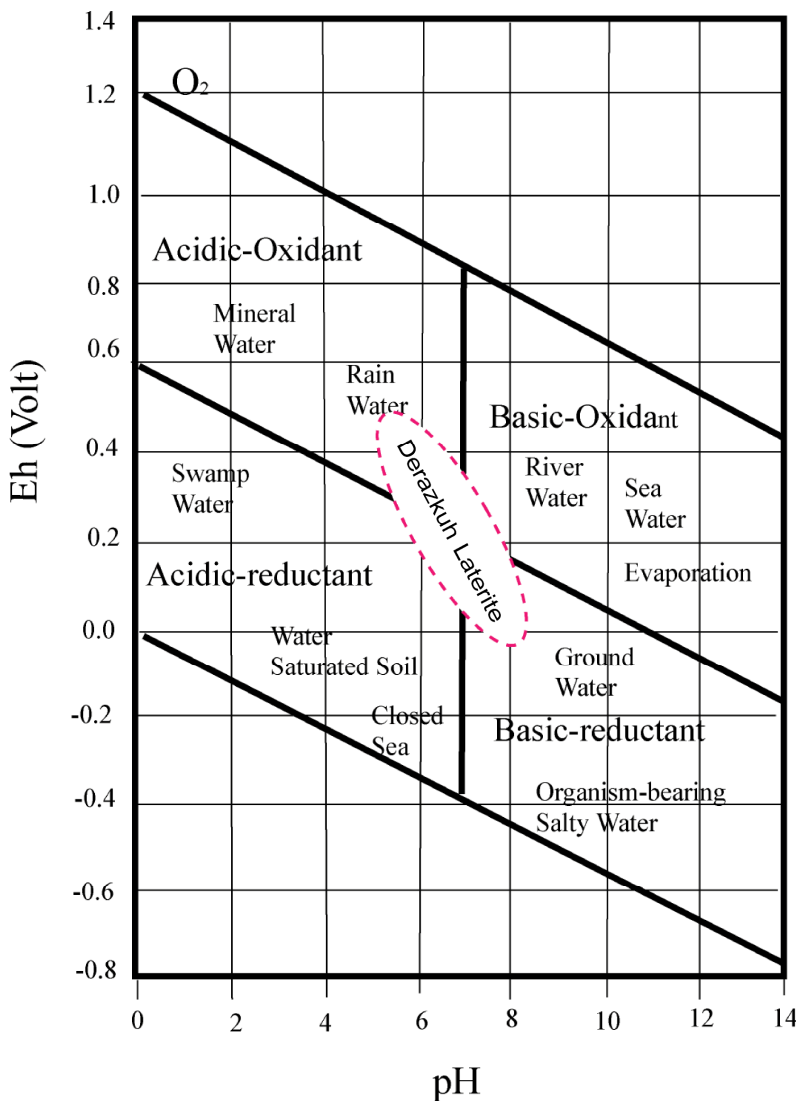
شرایط احیایی و pH پایین تشکیل می‌شود [۳۹]. با توجه به ترکیب کانی‌شناسی، افق لاتریتی درازکوه دارای دو رخساره کانی‌ای می‌باشد که در شرایط فیزیکوشیمیایی متفاوت تشکیل شده‌اند. رخساره کانی‌ای اول که در شرایط احیایی تشکیل شده و نزدیک به سطح زمین قرار دارد، شامل کانی‌های شاموزیت و آناتاز می‌باشد. رخساره کانی‌ای دوم که در شرایط اکسیدان شکل گرفته و در زیر



شکل ۵. (الف) کنکرسیون پیزوفیدی با هسته دیاسپوری همراه با رگجه اکسید آهن در کانسنگ قهوه‌ای (نور عادی، مقطع صیقلی)، ب) کنکرسیون اوئیدی با هسته هماتیتی در کانسنگ صورتی (نور عادی، برش صیقلی)



شکل ۶. الگوهای پیک‌های XRD مربوط به پنج تیپ از کانسنگ‌های لاتریتی درازکوه. (الف) کانسنگ قرمز پایینی (LRL)، ب) کانسنگ کرم (CL)، پ) کانسنگ صورتی (PL)، ت) کانسنگ قهوه‌ای (BL) و ث) کانسنگ قرمز (CRL). علامت اختصاری به کار رفته عبارتند از: A-آناتاز، B-بوهمیت، D-دیاسپور، G-گوتیت، K-مگنتیت، M-کاتولینیت، R-کلسیت، H-هماتیت، I-ایلیت، Ch-شاموزیت و Q-کوارتز



شکل ۷. دیاگرام Eh-pH محیط‌های اتمسفریک طبیعی با توجه به محدوده پایداری کانی‌ها که در آن موقعیت نهشتہ لاتریتی درازکوه مشخص شده است. مقادیر pH و Eh تشکیل کانی‌های گیبسیت، هماتیت، گوتیت و شاموزیت از منبع [۵۲] اقتباس شده است.

کائولینیتی شدن موجبات تشکیل و توسعه واحدهای قرمز بالایی (URL)، کرم (CL)، کرم قرمز (CRL)، سفید (WL)، و خاکستری (GL) و فرآیندهای لاتریتی شدن ضعیف موجبات توسعه و تشکیل واحدهای بنفس (VL)، قهوه‌ای (BL)، قرمز پایینی (LRL) و صورتی (PL) را در سیستم فراهم نموده‌اند. همچنانی ترسیم مقادیر اکسیدهای اصلی کانسنگ‌ها در نمودار سه متغیره Al<sub>2</sub>O<sub>3</sub>+TiO<sub>2</sub>-SiO<sub>2</sub>-Fe<sub>2</sub>O<sub>3</sub> می‌دهد که تمامی کانسنگ‌های این نهشتہ ترکیبی در حد

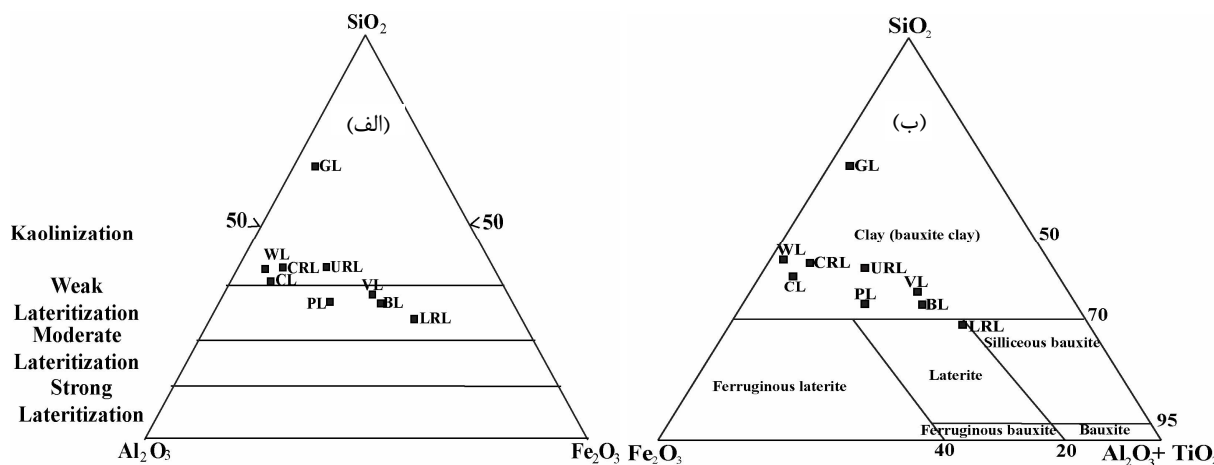
**ژئوشیمی**  
**ژئوشیمی عناصر اصلی و فرعی**

آنالیزهای شیمیایی نشان می‌دهند که در بین اکسیدهای تشکیل دهنده کانسنگ‌ها، اکسیدهای Al، Fe، Si و Ti از فراوانی قابل ملاحظه‌ای برخوردار هستند (جدول ۱). ترسیم مقادیر اکسیدهای Al، Fe و Si کانسنگ‌ها در نمودار سه متغیره Al<sub>2</sub>O<sub>3</sub>-SiO<sub>2</sub>-Fe<sub>2</sub>O<sub>3</sub> [۴۸] (شکل ۸-الف) نشان از این نکته دارد که تکوین و توسعه نهشتہ بازماندی درازکوه با کائولینیتی شدن و لاتریتی شدن ضعیف همراه بوده است. در این بین، فرآیندهای

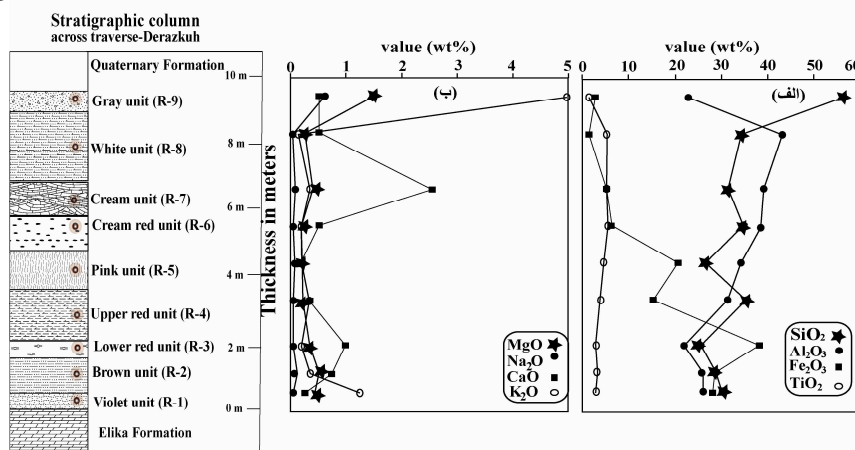
است. افزون بر موارد یاد شده، می‌توان استنباط نمود که توزیع Si و Al در این نیمرخ کمابیش در کنترل فرآیند آهن‌زدایی-آهن‌زایی قرار گرفته است.

با توجه به آنالیزهای شیمیایی مقادیر اکسیدهای Mg, Na, K و Ca در کانسنگ‌های مختلف لاتریتی از فراوانی به نسبت کمی برخوردار هستند (شکل ۹-ب). افزایش مقدار  $K_2O$  در واحد GL ( $50\text{ wt\%}$ ) می‌تواند به دلیل حضور کانی کلسیت (به صورت ریز رگچه) در واحد CL را می‌توان تنها دلیل منطقی برای فراوانی مقدار CaO ( $2/54\text{ wt\%}$ ) در نظر گرفت. با مقایسه نمودارهای مربوط به تغییرات اکسیدهای کانسنگ‌ها حضور دارد.

رس بوكسیتی داشته و تنها واحد RL ترکیبی در حد لاتریت دارد. بررسی روند تغییرات اکسیدهای اصلی در عرض نیمرخ مورد مطالعه نشان می‌دهد که Ti دارای کمترین تغییرات بوده ولی اکسیدهای Al, Fe, Si و Ca دارای روند تغییرات نامنظم می‌باشند (شکل ۹-الف). آن‌چه که از این تغییرات استنباط می‌شود این است که دارای روند تغییرات نامنظم ولی کمابیش افزایشی به سمت سنگ بستر کربناتی دارد. به نظر می‌رسد که نفوذ آب‌های جوی فرورو با ماهیت اسیدی موجبات شستشوی Fe از بخش‌های بالایی نیمرخ را سبب شده و عملکرد سنگ بستر کربناتی به عنوان یک سد ژئوشیمیایی به واسطه نوسانات و افزایش سطح سفره آب‌های زیرزمینی موجبات خنثی سازی pH محلول‌های فرورو و در نهایت تهنشست. Fe در بخش‌های زیرین نهشته را فراهم نموده است. هم‌چنین به نظر می‌رسد که تخریب مواد ارگانیکی در بخش‌های بالایی نیمرخ عامل تشید کننده دیگر برای شستشوی Fe به دلیل ایجاد شرایط احیایی محلی بوده.



شکل ۸. (الف) نمودار سه متغیره  $Al_2O_3-Fe_2O_3-SiO_2$  [۴۸] که شدت فرآیند لاتریتی شدن در واحدهای مختلف نهشته درازکوه را نشان می‌دهد. (ب) نمودار سه متغیره  $SiO_2-Fe_2O_3-(Al_2O_3+TiO_2)$  [۶] که تیپ‌های کانسنگی نهشته درازکوه را نشان می‌دهد.



شکل ۹. الگوی تغییرات (الف) اکسیدهای اصلی و (ب) اکسیدهای فرعی در نیمرخ مورد مطالعه در نهشته لاتریتی درازکوه

جدول ۱. نتایج آنالیزهای شیمیایی ICP-MS و ICP-ES عناصر اصلی، فرعی، جزئی و نادر خاکی همراه با بی‌هنجاری‌های Ce و Eu در کانسنتگ‌های افق لاتریتی درازکوه (شماره نمونه‌ها به ترتیب از عمق به سطح می‌باشد).

mple No	R-1	R-2	R-3	R-4	R-5	R-6	R-7	R-8	R-9
Name of unit	VL	BL	RL	KRL	PL	CRL	CL	WL	GL
SiO <sub>2</sub> (wt%)	۲۶/۱۹	۲۸/۷۴	۲۵/۲۸	۳۵/۴۱	۲۶/۱۱	۳۴/۸۴	۳۱/۰۰	۳۴/۸۴	۳۶/۴۱
Al <sub>2</sub> O <sub>3</sub>	۲۶/۰۱	۲۵/۰۸	۲۱/۹۶	۳۱/۰۱	۲۴/۲۱	۳۸/۴۹	۳۹/۱۴	۴۲/۱۴	۲۲/۰۶
Fe <sub>2</sub> O <sub>3</sub>	۲۸/۶۳	۲۹/۱۵	۳۸/۲۶	۱۵/۱۸	۲۰/۷۷	۶/۳۵	۴/۹۶	۱/۵۳	۲/۹۰
MgO	۰/۴۱	۰/۴۹	۰/۲۹	۰/۳۱	۰/۱۵	۰/۱۷	۰/۲۶	۰/۲۰	۱/۵۰
CaO	۰/۲۲	۰/۷۴	۰/۹۹	۰/۱۳	۰/۱۶	۰/۴۶	۲/۵۴	۰/۵۱	۰/۵۵
Na <sub>2</sub> O	۰/۰۵	۰/۱۳	۰/۰۳	۰/۰۳	۰/۰۲	۰/۰۴	۰/۰۴	۰/۰۴	۰/۶۶
K <sub>2</sub> O	۱/۲۴	۰/۳۵	۰/۲۰	۰/۲۳	۰/۲۲	۰/۱۸	۰/۲۳	۰/۱۲	۵/۰۰
TiO <sub>2</sub>	۲/۶۰	۲/۸۱	۲/۶۳	۳/۶۰	۴/۸۴	۵/۱۵	۵/۰۱	۵/۱۶	۱/۰۷
P <sub>2</sub> O <sub>5</sub>	۰/۰۸	۰/۱۹	۰/۱۶	۰/۱۰	۰/۰۴	۰/۰۶	۰/۲۲	۰/۱۶	۰/۱۵
MnO	۰/۰۱	۰/۰۱	۰/۰۳	۰/۰۱	۰/۰۴	۰/۰۶	۰/۰۴	۰/۰۱	۰/۰۱
LOI	۱۰/۱۲	۱۱/۳۰	۹/۷۰	۱۲/۹۰	۱۲/۹۰	۱۳/۹۰	۱۵/۳۰	۱۴/۳۰	۷/۵۰
Sum	۹۹/۸۲	۹۹/۶۰	۹۹/۵۰	۹۹/۷۲	۹۹/۷۴	۹۹/۷۱	۹۵/۶۳	۹۹/۶۳	۹۹/۷۰
Ba (ppm)	۶۷/۰۰	۲۳/۱۰۰	۷۷/۰۰	۷۸/۰۰	۲۹/۰۰	۵۹/۰۰	۸۶/۰۰	۲۹/۰۰	۳۰/۶۰۰
Co	۲۴/۵۰	۱۹/۹۰	۳۷/۳۰	۲۷/۹۰	۱۵/۷۰	۱۲/۹۰	۲۷/۹۰	۷/۹۰	۶/۲۰
Ga	۳۴/۱۰	۴۳/۸۰	۳۷/۰۰	۳۴/۰۰	۵۱/۱۰	۴۳/۰۰	۵۷/۴۰	۴۹/۰۰	۲۸/۳۰
Hf	۰/۱۰	۸/۸۰	۱۰/۱۰	۱۳/۰۰	۱۴/۰۰	۱۶/۰۰	۱۷/۰۰	۱۹/۴۰	۵/۶۰
Nb	۶۹/۹۰	۷۶/۵۰	۶۷/۲۰	۹۷/۱۰	۱۱۴/۴۰	۱۳۱/۰۰	۱۲۶/۴۰	۱۳۰/۹۰	۲۰/۵۰
Rb	۲۲/۳۰	۷/۸۰	۵/۰۰	۹/۰۵	۲/۶۰	۲/۶۰	۶/۱۰	۲/۵۰	۲۱۳/۸۰
Sr	۲۴/۵۰	۲۷/۷۰	۲۱/۶۰	۲۵/۷۰	۲۸/۲۱۰	۴۹/۹۵	۱۷/۱۵۰	۱۱۵/۷۰	۱۸/۹۵
Th	۱۶/۵۰	۱۶/۸۰	۱۷/۰۰	۲۳/۰۰	۲۷/۱۰	۲۹/۳۰	۲۸/۹۰	۲۶/۰۰	۱۷/۵۰
U	۱۱/۳۰	۱۳/۸۰	۲۲/۶۰	۱۱/۷۰	۲۴/۴۰	۲۵/۳۰	۲۱/۸۰	۳۰/۰۵	۴/۱۰
V	۵۲/۱۰	۴۹/۹۰	۶۷/۷۰	۳۸/۷۰	۵۱/۰۰	۴۷/۲۰	۴۹/۶۰	۴۰/۲۰	۱۷/۸۰
Zr	۲۸/۳۰	۴۲/۲۱۰	۴۸/۲۰	۵۴/۸۰	۶۳/۸۰	۷۳/۰۰	۷۲/۶۰	۸۳/۱۰	۲۴/۳/۸۰
Y	۴/۱۰	۴/۰/۱۰	۴/۹۰	۴/۷۰	۳۶/۸۰	۳۲/۰۰	۴۲/۴۰	۴/۵۰	۳۶/۶۰
Ni	۳۱/۳۰	۴/۰/۰	۳۲/۰	۵۲/۱۰	۲۹/۸۰	۲۹/۰۰	۵۰/۶۰	۹/۹۰	۱۹/۹
Cr	۱۳۶/۴۰	۱۶/۰۰	۲۰/۴۰	۲۶/۵۰	۲۶/۵۰	۲۹/۲۰	۲۹/۹۰	۳۳۳/۰	۱۱۵/۰۰
La (ppm)	۸۴/۶۰	۸/۹۰	۵۹/۳۰	۹۱/۳۰	۲۲/۵۰	۳۸/۵۰	۸۳/۴۰	۶۵/۹۰	۵۵/۹۰
Ce	۳۱۴/۰۰	۲۳۳/۰۰	۱۸۶/۰	۱۸۶/۰	۸۸/۶۰	۹۲/۶۰	۱۸۶/۳۰	۲۴۶/۷۰	۱۱۷/۷
Pr	۲۰/۱۵	۲۱/۲۷	۱۵/۸۶	۲۵/۱۵	۶/۰۷	۸/۱۴	۲۱/۷۳	۱۲/۹۴	۱۱/۶۷
Nd	۷۷/۹۰	۸/۰/۹	۶۷/۴۰	۹۹/۶	۲۷/۸۰	۳۳/۰	۸۵/۷۰	۵۳/۸۰	۴۷/۵۰
Sm	۱۵/۹۳	۱۳/۷۹	۱۸/۵۹	۲۰/۷۶	۶/۰	۷/۰	۱۹/۰۷	۱/۰/۶	۸/۶۵
Eu	۴/۳۵	۲/۳۳	۵/۱۴	۵/۰۴	۱/۹۶	۲/۰۷	۴/۹۶	۲/۸۱	۱/۹۲
Gd	۱۵/۳۱	۱۱/۳۱	۱۷/۲۰	۱۶/۳۲	۷/۴۱	۷/۰	۱۵/۶۹	۹/۸۰	۷/۵۲
Tb	۲/۲۴	۱/۹۳	۳/۰۳	۲/۱۶	۱/۱۴	۱/۱۶	۲/۱۴	۱/۳۵	۱/۳۱
Dy	۱۲/۱۴	۱۰/۱۹	۱۶/۳۸	۱۵/۹۴	۶/۶۹	۶/۴۹	۱۰/۰۸	۷/۱۸۲	۶/۵۸
Ho	۲/۰۵	۱/۹۱	۲/۸۹	۲/۶۴	۱/۲۸	۱/۲۷	۱/۸۵	۱/۵۵	۱/۳۲
Er	۵/۴۷	۵/۱۹	۷/۱۸	۷/۱۷	۲/۵۵	۲/۶۳	۴/۱۶	۴/۵۱	۲/۸۶
Tm	۰/۸۱	۰/۱۸۱	۱/۰۶	۱/۰۸	۰/۵۰	۰/۵۴	۰/۶۵	۰/۷۱	۰/۶۱
Yb	۴/۷۵	۵/۳۵	۵/۷۴	۶/۸۲	۳/۲۱	۳/۰۶	۳/۵۴	۴/۹۶	۳/۵۵
Lu	۰/۷۵	۰/۸۲	۰/۷۹	۱/۰۱	۰/۴۶	۰/۵۰	۰/۶۱	۰/۶۸	۰/۵۵
Eu/Eu*	۰/۸۵	۰/۱۸۱	۰/۹۰	۰/۹۳	۰/۸۶	۰/۹۰	۰/۸۸	۰/۸۳	۰/۷۳
Ce/Ce*	۱/۷۳	۱/۱۲	۱/۴۰	۰/۹۰	۱/۷۵	۱/۱۷	۱/۰۰	۱/۸۸	۰/۹۸

(قابلیت انحلال، H p تشکیل هیدروکسیدها و احتمال تشکیل کمپلکس‌ها) و (۵) فرآیندهای دیاژنتیک و اپی‌ژنتیک کنترل می‌شود [۳۳]. در این پژوهش، جهت تعیین کانی‌های میزبان عناصر جزئی و عوامل موثر در رفتار و توزیع آن‌ها در کانسنتگ‌ها مبادرت به محاسبه

رُؤشیمی عناصر جزئی رفتار و توزیع عناصر جزئی در نهشته‌های لاتریتی عمده‌است به وسیله فاکتورهایی نظری (۱) ترکیب سنگ‌های مادر، (۲) شرایط فیزیکوشیمیایی محیط تشکیل، (۳) ترکیب شیمیایی سنگ‌های بستر، (۴) خواص شیمیایی عناصر

همبستگی‌های مثبت و قوی بین Zr-Th (۰/۹۸) و Zr-U (۰/۸۱) به نظر می‌رسد که فازهای کانیایی مقاوم در برابر هوازدگی مثل زیرکن نیز در تمرکز و توزیع عناصر Th و U بی‌نقش نبوده‌اند [۱۵، ۳۲ و ۴۰]. همبستگی‌های مثبت و قوی بین Rb با K (۰/۹۲) و Ba با K (۰/۷۳) نشانگر نقش کنترلی مهم کانی ایلیت در تمرکز Rb و Ba به واسطه فرآیند جذب سطحی در سیستم می‌باشد [۱۸، ۱۹ و ۱۳]. وانادیوم (شکل ۱۰-پ) دارای روند توزیع تقریباً مشابه با Fe (شکل ۹-الف) می‌باشد. Ni و Co (شکل ۱۰-پ) اگرچه شباهت زیادی با روند توزیع Fe (شکل ۹-الف) نشان نمی‌دهند ولی دارای همبستگی‌های مثبت و متوسط نسبت به سایر واحدهای لاتریتی نشان می‌دهند. به نظر می‌رسد که مواد ارگانیکی موجود در واحد GL به دلیل تشکیل کمپلکس‌های ارگانیکی با عناصر یاد شده، نقش Hf، Ga، Zr، Cr، Nb و Th در سیستم‌های هوازدگی شده‌اند [۱۰، ۲۵ و ۲۶]. عناصر یاد شده در کانسنس‌های مختلف درازکوه دارای همبستگی مثبت و قوی با Al و Ti (۰/۸<۱) می‌باشند. این عناصر (شکل ۱۰-الف و ۱۰-ب) به مانند Al و Ti (شکل ۹-الف) در واحد GL کاهش چشمگیری نسبت به سایر واحدهای لاتریتی نشان می‌دهند. به نظر می‌رسد که مواد ارگانیکی موجود در واحد GL به دلیل Hf، Ga، Zr، Cr، Nb و Th از بخش بالای نیم‌رخ به بخش‌های تحتانی ایفا نموده‌اند [۱۶، ۳۸ و ۹]. با توجه به همبستگی مثبت و قوی عناصر یاد شده می‌توان استنباط نمود که کانی‌های رسی، بوهمیت، دیاسپور، و اکسیدهای تیتانیوم نقش کنترلی مهمی در توزیع این عناصر در نیم‌رخ مورد مطالعه ایفا نموده‌اند [۱۷]. به علاوه، با توجه به

ضرایب همبستگی رتبه‌ای اسپیرمن [۴۵] بین عناصر جزئی با یکدیگر و سایر عناصر شد (جدول‌های ۲، ۳ و ۴). عناصر Hf، Ga، Zr، Cr، Nb و Th به عنوان عناصر کم تحرک در سیستم‌های هوازدگی معروفی شده‌اند [۱۰، ۲۵ و ۲۶]. عناصر یاد شده در کانسنس‌های مختلف درازکوه دارای همبستگی مثبت و قوی با Al و Ti (۰/۸<۱) می‌باشند. این عناصر (شکل ۱۰-الف و ۱۰-ب) به مانند Al و Ti (شکل ۹-الف) در واحد GL کاهش چشمگیری نسبت به سایر واحدهای لاتریتی نشان می‌دهند. به نظر می‌رسد که مواد ارگانیکی موجود در واحد GL به دلیل تشکیل کمپلکس‌های ارگانیکی با عناصر یاد شده، نقش Hf، Ga، Zr، Cr، Nb و Th در سیستم‌های هوازدگی شده‌اند [۱۰، ۲۵ و ۲۶]. عناصر یاد شده در کانسنس‌های مختلف درازکوه دارای همبستگی مثبت و قوی با Al و Ti (۰/۸<۱) می‌باشند. این عناصر (شکل ۱۰-الف و ۱۰-ب) به مانند Al و Ti (شکل ۹-الف) در واحد GL کاهش چشمگیری نسبت به سایر واحدهای لاتریتی نشان می‌دهند. به نظر می‌رسد که مواد ارگانیکی موجود در واحد GL به دلیل Hf، Ga، Zr، Cr، Nb و Th از بخش بالای نیم‌رخ به بخش‌های تحتانی ایفا نموده‌اند [۱۶، ۳۸ و ۹]. با توجه به همبستگی مثبت و قوی عناصر یاد شده می‌توان استنباط نمود که کانی‌های رسی، بوهمیت، دیاسپور، و اکسیدهای تیتانیوم نقش کنترلی مهمی در توزیع این عناصر در نیم‌رخ مورد مطالعه ایفا نموده‌اند [۱۷]. به علاوه، با توجه به

جدول ۲. ضرایب همبستگی رتبه‌ای میان عناصر اصلی، فرعی و جزئی در بین کانسنس‌های نیم‌رخ مورد مطالعه

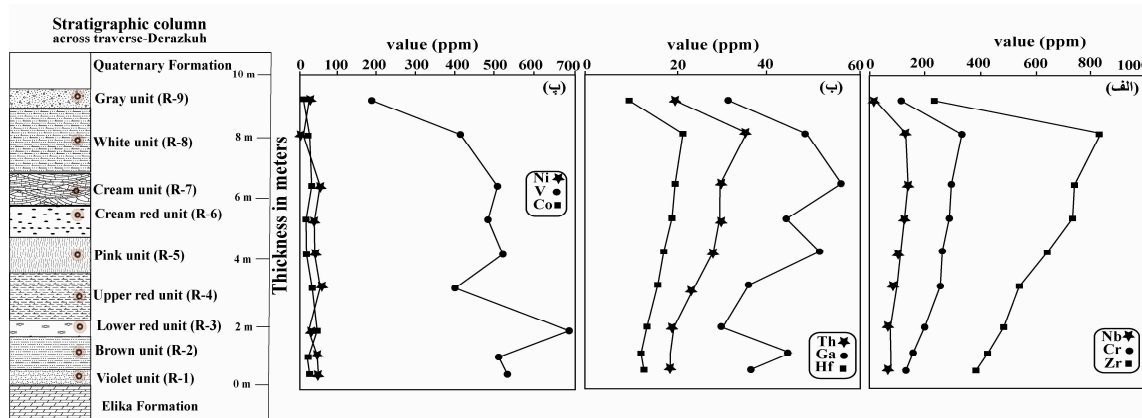
	SiO <sub>2</sub>	Al <sub>2</sub> O <sub>3</sub>	Fe <sub>2</sub> O <sub>3</sub>	TiO <sub>2</sub>	K <sub>2</sub> O	P <sub>2</sub> O <sub>5</sub>	MnO	Ba	Co
SiO <sub>2</sub>	۱/۰۰	۰/۲۳	-۰/۷۵	۰/۰۶	۰/۱۹	۰/۵۳	-۰/۲۴	۰/۲۸	-۰/۴۶
Al <sub>2</sub> O <sub>3</sub>	۰/۲۳	۱/۰۰	-۰/۶۳	۰/۹۰	-۰/۵۴	۰/۳۴	۰/۳۳	-۰/۵۴	-۰/۲۶
Fe <sub>2</sub> O <sub>3</sub>	-۰/۷۵	-۰/۶۳	۱/۰۰	-۰/۴۵	۰/۱۵	-۰/۶۶	۰/۰۲	۰/۰۵	۰/۶۵
TiO <sub>2</sub>	۰/۰۶	۰/۹۰	-۰/۴۵	۱/۰۰	-۰/۸۰	۰/۱۴	۰/۴۶	-۰/۵۹	-۰/۱۶
K <sub>2</sub> O	۰/۱۹	-۰/۵۴	۰/۱۵	-۰/۸۰	۱/۰۰	۰/۲۰	-۰/۴۸	۰/۷۳	۰/۰۸
P <sub>2</sub> O <sub>5</sub>	۰/۵۳	۰/۳۳	-۰/۶۶	۰/۱۴	۰/۲۰	۱/۰۰	-۰/۴۱	۰/۴۴	-۰/۱۳
MnO	-۰/۲۴	۰/۳۳	۰/۰۲	۰/۴۶	-۰/۴۸	-۰/۴۱	۱/۰۰	-۰/۳۴	۰/۰۸
Ba	۰/۲۸	-۰/۵۴	۰/۰۵	-۰/۵۹	۰/۷۳	۰/۴۴	-۰/۳۴	۱/۰۰	۰/۱۳
Co	-۰/۴۶	-۰/۲۶	۰/۶۵	-۰/۱۶	۰/۰۸	-۰/۱۳	۰/۰۸	۰/۱۳	۱/۰۰
Ga	-۰/۱۶	۰/۷۸	-۰/۳۱	۰/۶۸	-۰/۲۵	۰/۲۱	۰/۳۵	-۰/۳۲	-۰/۲۰
Hf	۰/۰۱	۰/۹۰	-۰/۴۶	۰/۹۳	-۰/۷۹	۰/۱۹	۰/۴۹	-۰/۶۴	-۰/۰۱
Nb	۰/۰۸	۰/۹۱	-۰/۴۱	۰/۹۱	-۰/۵۶	۰/۲۰	۰/۵۷	-۰/۴۲	-۰/۰۵
Rb	۰/۳۶	-۰/۶۰	۰/۱۳	-۰/۸۱	۰/۹۲	۰/۲۴	-۰/۵۲	۰/۷۷	۰/۱۳
Th	۰/۳۶	۰/۸۴	-۰/۷۴	۰/۸۷	-۰/۷۱	۰/۲۵	۰/۴۷	-۰/۵۱	-۰/۳۷
U	-۰/۳۶	۰/۶۰	-۰/۱۳	۰/۸۱	-۰/۹۲	-۰/۲۴	۰/۵۲	-۰/۷۷	-۰/۱۳
V	-۰/۹۳	-۰/۲۸	۰/۸۰	-۰/۱۸	-۰/۰۹	-۰/۵۹	۰/۲۷	-۰/۲۸	۰/۵۳
Zr	۰/۰۰	۰/۸۸	-۰/۴۵	۰/۹۶	-۰/۸۱	۰/۲۰	۰/۴۹	-۰/۵۷	-۰/۰۳
Y	-۰/۲۸	-۰/۰۶	۰/۲۳	۰/۰۱	-۰/۲۳	۰/۲۵	-۰/۳۰	-۰/۰۳	۰/۷۱
Ni	-۰/۲۱	-۰/۱۸	۰/۶۰	-۰/۱۵	۰/۲۷	۰/۰۷	۰	۰/۴۲	۰/۸۵
Cr	-۰/۰۵	۰/۸۷	-۰/۴۶	۰/۹۶	-۰/۸۰	۰/۲۵	۰/۴۵	-۰/۵۴	۰/۰۰

جدول ۳. ضرایب همبستگی رتبه‌ای میان عناصر اصلی، فرعی و جزئی در کانسنس‌های نیمرخ مورد مطالعه

	Ga	Hf	Nb	Rb	Th	U	V	Zr	Y	Ni	Cr
$\text{SiO}_2$	-0.16	-0.1	-0.8	-0.36	-0.36	-0.36	-0.93	-0.0	-0.28	-0.21	-0.5
$\text{Al}_2\text{O}_3$	-0.78	-0.9	-0.91	-0.60	-0.85	-0.60	-0.28	-0.88	-0.6	-0.23	-0.87
$\text{Fe}_2\text{O}_3$	-0.31	-0.16	-0.41	-0.13	-0.74	-0.13	-0.80	-0.45	-0.13	-0.55	-0.15
$\text{TiO}_2$	-0.68	-0.93	-0.91	-0.81	-0.87	-0.81	-0.18	-0.96	-0.1	-0.15	-0.96
$\text{K}_2\text{O}$	-0.75	-0.79	-0.56	-0.92	-0.71	-0.92	-0.09	-0.81	-0.23	-0.27	-0.80
$\text{P}_2\text{O}_5$	-0.21	-0.19	-0.20	-0.24	-0.25	-0.24	-0.59	-0.20	-0.25	-0.17	-0.25
$\text{MnO}$	-0.35	-0.49	-0.57	-0.52	-0.47	-0.52	-0.27	-0.49	-0.30	-0.00	-0.45
Ba	-0.32	-0.84	-0.42	-0.77	-0.51	-0.77	-0.28	-0.57	-0.03	-0.22	-0.54
Co	-0.20	-0.1	-0.05	-0.13	-0.37	-0.13	-0.53	-0.13	-0.71	-0.05	-0.00
Ga	1.00	-0.63	-0.10	-0.51	-0.50	-0.51	-0.13	-0.58	-0.20	-0.00	-0.62
Hf	-0.63	1.00	-0.88	-0.78	-0.87	-0.78	-0.18	-0.98	-0.20	-0.11	-0.97
Nb	-0.80	-0.83	1.00	-0.81	-0.77	-0.81	-0.13	-0.90	-0.18	-0.16	-0.89
Rb	-0.51	-0.78	-0.61	1.00	-0.68	-0.60	-0.20	-0.81	-0.08	-0.33	-0.77
Th	-0.50	-0.87	-0.77	-0.68	1.00	-0.68	-0.45	-0.87	-0.09	-0.38	-0.87
U	-0.51	-0.78	-0.61	-0.60	-0.68	1.00	-0.20	-0.81	-0.18	-0.33	-0.77
V	-0.13	-0.08	-0.13	-0.20	-0.45	-0.20	1.00	-0.11	-0.23	-0.13	-0.15
Zr	-0.66	-0.98	-0.90	-0.81	-0.87	-0.81	-0.11	1.00	-0.18	-0.18	-0.99
Y	-0.20	-0.20	-0.08	-0.08	-0.09	-0.08	-0.23	-0.18	1.00	-0.46	-0.22
Ni	-0.00	-0.11	-0.06	-0.33	-0.78	-0.73	-0.23	-0.08	-0.46	1.00	-0.14
Cr	-0.62	-0.97	-0.89	-0.77	-0.87	-0.77	-0.15	-0.99	-0.22	-0.14	1.00

جدول ۴. ضرایب همبستگی میان برخی عناصر انتخابی با REE‌ها در کانسنس‌های نیمرخ مورد مطالعه

Si	Al	Fe	P	Mn	Y	Ba	Ti	
La	-0.10	-0.10	-0.20	-0.46	-0.63	-0.53	-0.44	-0.11
Ce	-0.18	-0.11	-0.21	-0.30	-0.67	-0.55	-0.12	-0.18
Pr	-0.06	-0.06	-0.18	-0.52	-0.41	-0.61	-0.05	-0.13
Nd	-0.06	-0.06	-0.18	-0.52	-0.41	-0.61	-0.05	-0.13
Sm	-0.13	-0.21	-0.46	-0.30	-0.17	-0.55	-0.16	-0.16
Eu	-0.27	-0.11	-0.45	-0.20	-0.13	-0.76	-0.45	-0.13
Gd	-0.38	-0.26	-0.48	-0.22	-0.22	-0.83	-0.22	-0.21
Tb	-0.23	-0.13	-0.48	-0.17	-0.23	-0.90	-0.21	-0.23
Dy	-0.40	-0.33	-0.55	-0.07	-0.23	-0.81	-0.20	-0.13
Ho	-0.37	-0.48	-0.56	-0.10	-0.46	-0.86	-0.15	-0.43
Er	-0.18	-0.40	-0.46	-0.18	-0.66	-0.83	-0.30	-0.36
Tm	-0.10	-0.39	-0.45	-0.18	-0.53	-0.83	-0.22	-0.31
Yb	-0.20	-0.40	-0.48	-0.19	-0.66	-0.86	-0.28	-0.31
Lu	-0.18	-0.39	-0.45	-0.25	-0.63	-0.86	-0.26	-0.26



شکل ۱۰. الگوی تغییرات عناصر جزئی در نیمرخ مورد مطالعه در نهشته لاتریتی درازکوه

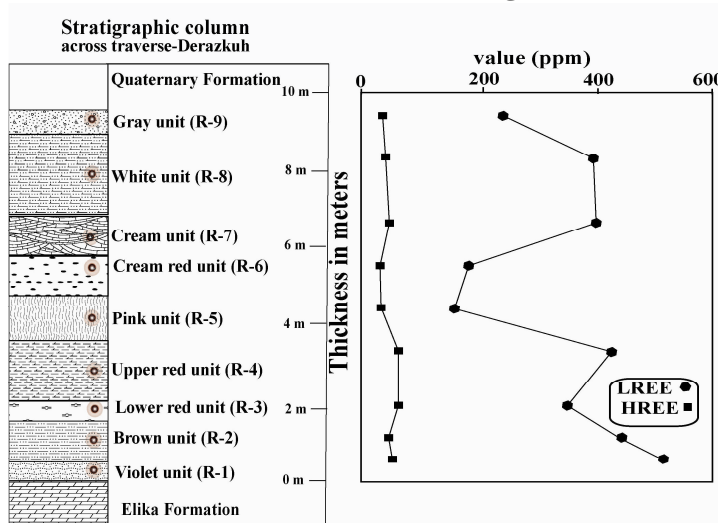
رونده توزیع HREE‌ها نسبتاً منظم بوده و بیشترین میزان افزایش برای HREE‌ها در واحد RL رخ داده است. الگوی توزیع REE‌ها در کانسنگ‌های مختلف نهشته درازکوه به هنجار شده نسبت به ترکیب کندریت [۵۰] نشان می‌دهد که هم LREE‌ها و هم HREE‌ها نسبت به کندریت غنی شده‌اند، با این تفاوت که LREE‌ها نسبت به HREE‌ها بیشتر غنی گشته‌اند (شکل ۱۲). افزون بر این، رخداد بی‌نهجایی‌های منفی ضعیف Eu و مثبت ضعیف Ce در طی تکوین کانسنگ‌ها محتمل است. محاسبه مقادیر نسبت‌های  $(La/Sm)_N$  و  $(Gd/Yb)_N$  به ترتیب بازه‌ای از ۲/۰ تا ۴/۰ و ۱/۶ تا ۳/۵ را در کانسنگ‌های نیمرخ مورد مطالعه نشان می‌دهد. نکته قابل توجه از روند تغییرات نسبت‌های یاد شده، نامنظم بودن روند این تغییرات از سنگ پوشش به سنگ بستر نهشته است (شکل ۱۳-الف). بررسی‌های انجام شده نشان می‌دهد که تغییرات نسبت‌های  $(La/Yb)_N$  و LREE/HREE قابل ملاحظه و به ترتیب دارای بازه‌ای از ۴/۷ تا ۱۵/۸ و ۱۲/۶ تا ۶۶/۲ می‌باشند (شکل ۱۳-ب). نتایج حاصل از این محاسبات نشان‌گر تغییر REE‌ها از HREE‌ها و غنی‌شدگی بیشتر LREE‌ها نسبت به HREE‌ها با یک روند کاملاً "نامنظم در نیمرخ موردن بررسی می‌باشد. نسبت LREE/HREE یک روند افزایشی نامنظم به سمت سنگ بستر را نشان می‌دهد که در میان واحدهای لاتریتی، واحدهای PL و RL کمترین مقدار و واحد WL بالاترین مقدار تفکیک LREE از HREE را در بین کانسنگ‌های نیمرخ موردن مطالعه دارد.

### ژئوشیمی عناصر نادر خاکی

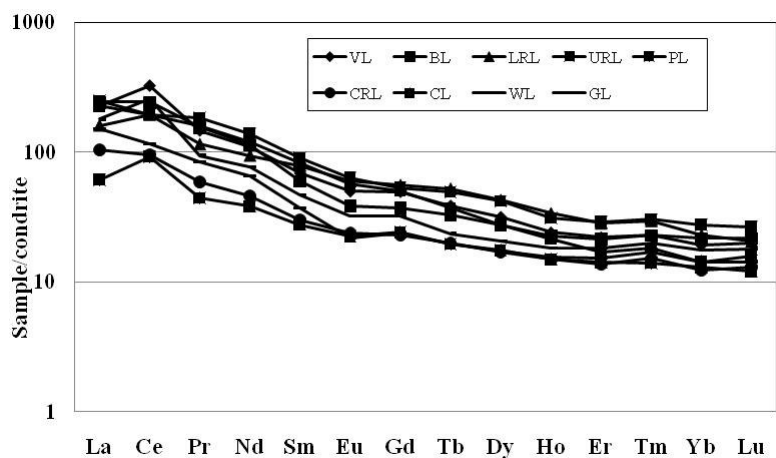
#### الگوی توزیع عناصر نادر خاکی در کانسنگ‌ها

مکانیسم توزیع REE‌ها در طی کانی‌زایی‌های مرتبط با فرآیندهای هوازدگی چندان شناخته شده نیست [۲۹]. بر اساس مطالعات مختلف، REE‌ها در طی فرآیند هوازدگی دچار تحرک شده و متحمل تفریق می‌گردند. با این حال، در خصوص شدت تفریق در بین عناصر نادر خاکی توافق کمی وجود دارد [۸]. به طور معمول در طی فرآیند هوازدگی REE‌ها ممکن است رفتارهای متفاوتی از خود نشان دهند. این رفتارها عبارتند از: (۱) هوازدگی‌های شیمیایی شدید در آب و هوای گرم و مريطوب متحرک می‌شوند. در این بین HREE‌ها به طور ترجیحی در محلول باقی می‌مانند [۵]. (۲) بسته به شرایط pH محیط، REE‌ها در بعضی از محیط‌های فیزیکوشیمیایی متحرک می‌باشند [۲۲ و ۴۶]، (۳) ممکن است در لایه‌های آهن‌دار محتوى گوتیت تجمع یابند [۳۱ و ۴۹]. (۴) در طی فرآیند هوازدگی که به طور معمول با تشکیل کانی‌های رسی در جزا همراه است، REE‌ها می‌توانند به سادگی توسط کانی‌های رسی نظری اسماکتیت و کائولینیت جذب سطحی شوند [۴۴] و (۵) توزیع REE‌ها شدیداً تحت تأثیر حضور کانی‌هایی نظیر کانی‌های گروه باستانزیت در سنگ مادر می‌باشد [۳۶].

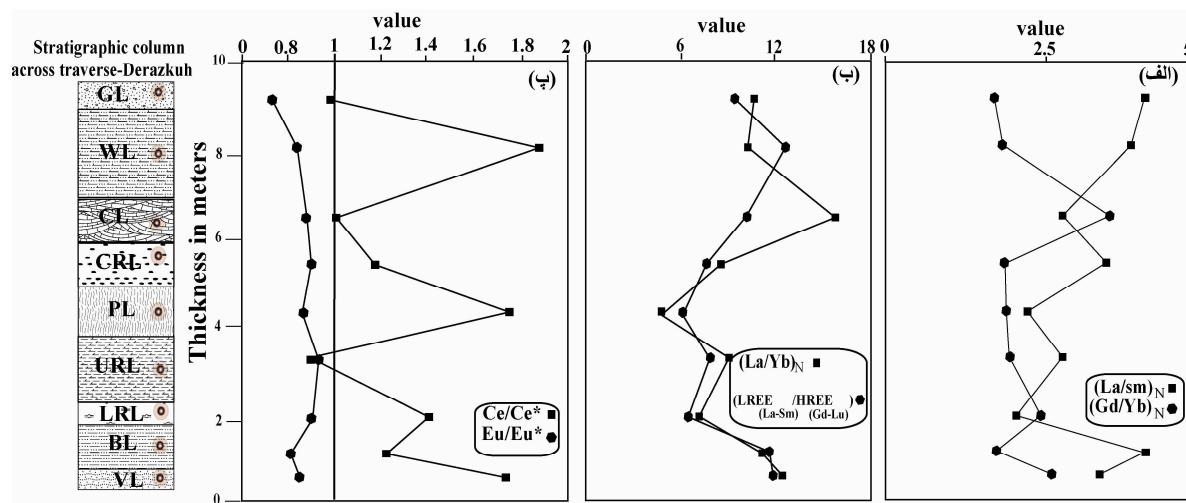
توزیع REE‌ها در عرض نیمرخ موردن مطالعه به صورت ناموزون می‌باشد، ولی به طور کلی این دسته عناصر از نظر میزان تمرکز یک کاهش ناگهانی در واحدهای GL و VL نشان می‌دهند (شکل ۱۱). مقادیر LREE‌ها در واحد VL شدیداً دستخوش افزایش شده است. این در حالی است که



شکل ۱۱. الگوی تغییرات عناصر نادر خاکی در نیمرخ موردن مطالعه در نهشته لاتریتی درازکوه



شکل ۱۲. الگوی توزیع عناصر نادر خاکی در کانسنگ‌های مورد مطالعه که به ترکیب کندربیت [۵۰] به هنجار شده است.



شکل ۱۳. (الف) تغییرات  $\text{Ce}/\text{Ce}^*$  و  $\text{Eu}/\text{Eu}^*$ ، (ب)  $(\text{La}/\text{Yb})_N$  و  $(\text{La}/\text{Sm})_N / (\text{Gd}/\text{Yb})_N$  و (پ) تغییرات بی‌هنجاری‌های  $\text{Eu}$  و  $\text{Ce}$  در نیمرخ مورد مطالعه در نهشته لاتریتی درازکوه

شدت افزایش یافته است [۱۶ و ۳۸]. افزایش شدید REE‌ها به ویژه LREE‌ها در پایین‌ترین واحد لاتریتی (VL) که در ارتباط تنگانگ با سنگ‌های بستر کربناتی است احتمالاً در ارتباط با افزایش شدید pH محیط در زمان توسعه این کانسنگ بوده که سبب افزایش تمرکز آن‌ها شده است. افزایش pH محلول‌های مسئول لاتریت‌زایی می‌تواند به واسطه بالا آمدن سطح سفره آب‌های زیرزمینی و به عبارت بهتر به واسطه خشی‌سازی محلول‌های هوازده کننده توسط سنگ‌های بستر کربناتی رخ داده باشد. به نظر می‌رسد افزایش pH محلول‌های هوازده کننده و به عبارت بهتر تغییرات pH مهم‌ترین فاکتور کنترل کننده تفریق عناصر نادر کانسنگ‌های مورد مطالعه بوده است. زیرا با افزایش pH

فاکتورهای کنترل کننده توزیع و تفریق عناصر نادر خاکی در طی لاتریت‌زایی هوازده‌گی کانی‌های سنگ مادر سبب تحرک عناصر و تفریق LREE از HREE و یا Eu می‌شود [۲۱ و ۴۱]. pH پارامتر مهم کنترل کننده تحرک و تفریق REE‌ها می‌باشد. تحت شرایط اسیدی REE‌ها به آسانی از محصولات هوازده آزاد و شسته می‌شوند و تحت شرایط خشی تا قلیایی ثبیت می‌شوند [۳۶]. به نظر می‌رسد که حاکم بودن شرایط اسیدی و حضور مواد ارگانیکی در قسمت بالایی نیمرخ هوازده (GL) سبب کاهش شدید مقادیر REE‌ها شده است. آنچه که از این بررسی‌ها حاصل می‌شود این است که نقل و انتقال REE‌ها به مانند Al و Ti به وسیله کلوئیدهای ارگانیکی از بخش بالایی نیمرخ به

۱۳- پ) می‌تواند به ارث رسیده از سنگ مادر و در ارتباط با شستشوی Eu از سنگ مادر در اثر تجزیه شدن فلذسپارها باشد [۵۱، ۵۳ و ۵۵].

کانی‌های کنترل کننده توزیع عناصر نادر خاکی کانی‌های رسی [۱۲]، اکسید و هیدروکسیدهای آهن و منگنز [۲۶] و اکسیدهای تیتانیوم شامل روتیل، آناناتاز و تیتانیت [۲۲، ۳۷ و ۴۷] از جمله کانی‌های میزبان مهم عنصر نادر خاکی در نهشته‌های لاتریتی می‌باشند. در نهشته لاتریتی درازکوه به دلیل همبستگی‌های مثبت بسیار ضعیف و منفی ضعیف تا متوسط بین REEs با عناصر Al, Mn, Si و Ti (جدول ۴) احتمال میزبانی فازهای کانی‌ای یاد شده برای REEs متفاوت می‌باشد. همبستگی مثبت و ضعیف Fe با REEs (۰/۰۰۰ الی ۰/۰۵۶) نقش کنترلی هماتیت و گوچیت را در توزیع REEs را بی‌همیت نشان می‌دهد. همبستگی مثبت و متوسط تا قوی بین Y با REEs (۰/۰۵۳ الی ۰/۰۸۶) به جز Sm حکایت از آن دارد که فسفات‌های ثانویه‌ای نظری زینوتایم مهم‌ترین کانی حامل REEs در نهشته لاتریت درازکوه می‌باشند [۱۷].

### نتیجه‌گیری

۱- نهشته لاتریت رسی درازکوه به سن تریاس- ژوراسیک شامل دو رخساره کانی‌ای احیایی و اکسیدان بوده و آب‌هایی با ماهیت احیایی- اسیدی تا اکسیدی- قلیایی نقش ارزنده‌ای در توسعه و تشکیل کانسنگ‌های آن ایفا نموده‌اند.

۲- این نهشته در طی تکوین خود مراحل کائولینیتی شدن و لاتریتی شدن ضعیف تجربه نموده و شامل دو نوع کانسنگ، (۱) رس بوکسیتی و (۲) لاتریت می‌باشد.

۲- با توجه به ژئوشیمی عناصر اصلی به نظر رسید که مکانیسم‌های آهن‌زدایی- آهن‌زایی، عملکرد سنگ بستر کربناتی به عنوان یک سد ژئوشیمیایی، نوسانات سطح سفره آب‌های زیرزمینی و تغییرات در شیمی محلول‌های هوازده کننده (pH و Eh) از عوامل کلیدی در توسعه کانسنگ‌ها بوده‌اند.

۳- مطالعات ژئوشیمی عناصر جزئی نشان می‌دهند که حضور در فازهای مقاوم، تثبیت در فازهای نوریخت (نئومورف)، جذب سطحی و رویش و تمرکز توسط

محلول‌های مسئول هوازدگی، پایداری کمپلکس‌های حامل HREE‌ها بیشتر از LREE‌ها می‌باشد [۴۶]. افزون بر این، به نظر می‌رسد که پتانسیل یونی کمتر LREE‌ها نسبت به HREE‌ها سبب شستشوی بیشتر LREE‌ها از سنگ مادر و تمرکز آن‌ها در کانسنگ‌ها شده است. معمولاً نهشته‌های لاتریتی بر جا روند غنی‌شدنی منظمی برای REEs با نزدیک‌تر شدن به سنگ بستر کربناتی و به ویژه در محل برخورد با سنگ بستر از خود نشان می‌دهند [۳۱]. از بررسی روند توزیع REEs در نیمروخ مورد مطالعه می‌توان به نکته مهم دیگری بر می‌خوریم و آن وجود روندهای نامنظم در توزیع REEs در نیمروخ مورد مطالعه بوده که می‌تواند حاکی از تکوین این نهشته از یک منشاء نابرجازا برخوردار باشد. همچنین با توجه به تفرقی Eu از HREE‌ها و رخداد بی‌نهنجاری منفی ضعیف Eu در طی توسعه فرآیندهای لاتریتی شدن می‌توان استنباط کرد که سنگ مادر این نهشته یک سنگ آذرین مافیک بوده است [۳۱ و ۵۰].

### تفسیر بی‌نهنجاری‌های Eu و Ce در کانسنگ‌ها

در این مطالعه برای محاسبه میزان ناهنجاری Ce و Eu در کانسنگ‌ها به ترتیب از روابط زیر استفاده گردید [۵۴]:

$$\text{Ce Anomaly} = [(2\text{Ce}_N)/(La_N + Pr_N)]$$

$$\text{Eu Anomaly} = [(2\text{Eu}_N)/(Sm_N + Gd_N)]$$

حرف N به هنجار شدن عناصر یاد شده به ترکیب کندریت [۵۰] را نشان می‌دهد. نتایج محاسبات انجام شده نشان می‌دهد که مقادیر بی‌نهنجاری‌های Ce و Eu در کانسنگ‌ها به ترتیب از بازه‌ای در حدود ۰/۹۸ الی ۰/۷۵ و ۰/۷۳ الی ۰/۹۲ متغیر است. یون Zr<sup>4+</sup> دارای شعاع یونی Ce<sup>4+</sup> (۰/۹۷ آنگستروم) می‌باشد. به علاوه، Ce<sup>4+</sup> دارای پتانسیل یونی بسیار بالا بوده و در طی فرآیندهای هوازدگی رفتاری مشابه با HREE‌ها نشان می‌دهد. ناهنجاری مثبت این عنصر در محصولات هوازده به طور معمول نتیجه شستشوی کانی‌های اسفن، آپاتیت و زیرکن در سنگ مادر می‌باشد. با توجه به مطالب مطروحه، به نظر می‌رسد که رخداد ناهنجاری مثبت Ce (شکل ۱۳- پ) در برخی از کانسنگ‌های لاتریت درازکوه دلیلی بر حضور زیرکن در سنگ منشأ این نهشته باشد [۳۰]. ناهنجاری‌های منفی و ضعیف Eu در کانسنگ‌های نیمروخ مورد مطالعه (شکل

- profiles from India. *Chemical Geology*, 60, 227–235.
- [7] Bardossy, G and Aleva, G.J.J (1990) *Lateritic Bauxite*. Elsevier, Amsterdam, 624p.
- [8] Boulange, B., and Colin, F (1994) Rare earth element mobility during conversion of nepheline syenite into lateritic bauxite at Passa Quatro, Minas Gerais, Brazil. *Applied Geochemistry*, 9, 701–711.
- [9] Braun J.J., Ngoupayou J.R.N., Vires J., Dupre B., Bedimo J.P.B., Boeglin J.L., Robain H., Nyeck B., Freydier R., Nkamdjou L.S., Rouiller J., and Muller J.P (2005) Precent weathering rates in a humid tropical watershed: Nsimi, South Cameroon. *Geochimica et Cosmochimica Acta*, 69, 357–387.
- [10] Calagari, A.A., and Abedini, A (2007) Geochemical investigations on Permo-Triassic bauxite horizon at Kanisheeteh, east of Bukan, West-Azardjan, Iran. *Journal of Geochemical Exploration*, 94, 1–18.
- [11] Chowdhury, A.N., Chakraborty, S.C., and Bose, B.B (1965) Geochemistry of gallium in bauxite from India. *Journal of Economic Geology*, 60, 1052–1058.
- [12] Condie K (1991) Another look at REEs in shales. *Geochimica et Cosmochimica Acta*, 55, 2527–2531.
- [13] Costa, M.L., and Araujo, E.S (1996) Application of multi-element geochemistry in Au-phosphate-bearing lateritic crusts for identification of their parent rocks. *Journal of Geochemical Exploration*, 57, 257–272.
- [14] D'Argenio, B., and Mindszenty, A (1995) Bauxites and related paleokarst: tectonic and climatic event markers at regional unconformities. *Eclogae geologica Helveticae*, 88, 453–499.
- [15] Deer, W.A., Howie, R.A. and Zussmann, J (1992) *The rock forming minerals*. Longman, London, 720 p.
- [16] Dupre B., Viers. J., Dandurand, J.L., Polve, M., Beneszeth, P., Vervier, P., and Braun, J.J (1999) Major and trace elements associated with colloids in organic-rich river waters: ultrafiltration of natural and spiked solution. *Chemical Geology*, 160, 63–80.
- [17] Gonzales-Lopez, J. M.G., Bauluz, B., Fernandez-Nieto, C. and Oliete, A.Y (2005) Factors controlling the trace element distribution in fine-grained rocks: the Albian kaolinite-rich deposits of the Oliete Basin (NE Spain). *Chemical Geology*, 214, 1–19.
- [18] Gouveia, M.A., Prudencio, M.I., Figueiredo, M.O., Pereira, L.C.J., Waerenborgh, J.C., Morgado, I., Pena, T., and Lopes, A (1993) Behaviour of REE and other trace and major elements during weathering of granitic rocks, Evora, Portugal. *Chemical Geology*, 107, 293–296.

اکسیدها و هیدروکسیدهای آهن همراه با حضور مواد ارگانیک نقش مهمی در توسعه فرآیند لاتریتی شدن در درازکوه ایفا نموده‌اند.

۴- بررسی‌های ژئوشیمی عناصر نادر خاکی نشان می‌دهند که این نهشته دارای سنگ مادر آذرین بازیک بوده و از یک منشا نابرجا برخوردار است.

۵- ضرایب همبستگی بین عناصر نشان می‌دهند که فسفات‌های ثانویه نظیر زینوتایم میزان اصلی عناصر نادر خاکی در کانسنتراشن‌ها می‌باشد.

۶- روند تغییرات بی‌نهجایی‌های Eu و Ce در کانسنتراشن مبین دگرسانی فلدوپارهای سنگ مادر در طی تکوین نهشته و حضور زیرکن در مقادیر قابل ملاحظه در سنگ مادر کانسنتراشن‌ها می‌باشد.

### سپاسگزاری

نگارندگان از حمایت‌های مالی معاونت پژوهشی و مدیریت تحصیلات تکمیلی دانشگاه تبریز برخوردار بوده‌اند، لذا شایسته است نهایت سپاس و قدردانی خود را از آن‌ها ابراز دارند. نگارندگان همچنین از نظرات و پیشنهادات ارزنده و سازنده داوران محترم مجله سپاس‌گزاری می‌نمایند.

### منابع

- [۱] سعیدی، ع.، اکبرپور، م (۱۳۷۱) نقشه زمین‌شناسی ۱:۱۰۰۰۰۰ کیاپس. انتشارات سازمان زمین‌شناسی و اکتشافات معدنی کشور.
- [۲] کنگرانی فراهانی ف.، کلاغری ع.ا. و عابدینی ع. (زیر چاپ) ویژگی‌های ژئوشیمیایی نهشته لاتریتی-بوکسیتی شاه بلاغی، جنوب خاور دماوند، استان تهران، مجله علوم زمین.
- [۳] کنگرانی فراهانی ف.، کلاغری ع.ا. و عابدینی ع. (زیر چاپ) کانی‌شناسی و زمین‌شیمی عناصر نادر خاکی در نهشته لاتریت زان، استان تهران، مجله بلور‌شناسی و کانی‌شناسی ایران.
- [۴] نبوی، م.ح (۱۳۵۵) دیباچه‌ای بر زمین‌شناسی ایران، سازمان زمین‌شناسی و اکتشافات کشور، ۱۰۹ ص.
- [۵] Balashov, Y.A., Ronov, A.B., Migdisov, A.A., and Turanskaya, N.V (1964) The effects of climate and facies environment on the fractionation of rare earths during sedimentation. *Geochemistry International*, 1, 951–969.
- [۶] Balasubramaniam, K.S., Surendra M., and Kumar T.V (1984) Genesis of certain bauxite

- America, *Reviews in Mineralogy*, vol. 21, pp. 169–196.
- [30] Meshram, R.R., and Randive, K.R (2011) Geochemical study of laterites of the Jamnagar district, Gujarat, India: Implications on parent rock, mineralogy and tectonics. *Journal of Asian Earth Sciences*, 42, 1271–1287.
- [31] Mongelli, G (1997) Ce-anomalies in the textural components of Upper Cretaceous karst bauxites from the Apulian carbonate platform (southern Italy). *Chemical Geology*, 140, 69–79.
- [32] Mordberg, L.E (1999) Geochemical evolution of a Devonian diaspore–crandallite–svanbergite-bearing weathering profile in the Middle Timan, Russia. *Journal of Geochemical Exploration*, 66, 353–361.
- [33] Mordberg, L.E (1996) Geochemistry of trace elements in Palaeozoic bauxite profiles in northern Russia. *Journal of Geochemical Exploration*, 57, 187–199.
- [34] Mordberg, L.E., and Spratt, J (1998) Alteration of zircons: the evidence of Zr mobility during bauxitic weathering. *Goldschmidt Conference Toulouse*, 1021–1022.
- [35] Muzaffer-Karadag, M., Kupeli, S., Arik, F., Ayhan, A., Zedef, V. and Doyen, A (2009) Rare earth element (REE) geochemistry and genetic implications of the Mortas bauxite deposit (Seydisehir/Konya-southern Turkey). *Chemie der Erde–Geochemistry*, 69, 143–159
- [36] Nesbitt, W.H (1979) Mobility and fractionation of rare earth elements during weathering of a granodiorite. *Nature*, 279, 206–210.
- [37] Nyakairu, G.W.A., and Koeberl, C (2001) Mineralogical and chemical composition and distribution of rare earth elements in clay-rich sediments from Central Uganda. *Geochemical Journal*, 35, 13–28.
- [38] Oliva P., Viers J., Dupre B., Fortune J.P., Martin F., Braun J.J., Nahon D and Robian H (1999) The effect of organic matter on chemical weathering: study of a small tropical watershed: Nsimi-zoetele site, Cameroon. *Geochimica et Cosmochimica Acta*, 63 (23–24), 4013–4035.
- [39] Özlü N (1983) Trace element contents of karst bauxites and their parent rocks in the Mediterranean belt. *Mineralium Deposita*, 18, 469–476.
- [40] Ozturk, H., Hein, J.R., and Hanilc, N (2002) Genesis of the Dogankuzu and Mortas bauxite deposits, Taurides, Turkey: Separation of Al, Fe and Mn and implications for passive margin metallogeny. *Economic Geology*, 97, 1063–1077.
- [19] Hill, I.G., Worden, R.H., and Meighan, I.G (2000) Geochemical evolution of a palaeolaterite: The Interbasaltic Formation, Northern Ireland. *Chemical Geology*, 166, 65–84.
- [20] Hintor, W., and Upton, B.G.J (1991) The chemistry of zircon: variations within and between large crystals from syenite and alkali basalt xenoliths. *Geochimica et Cosmochimica Acta*, 55, 3287–3302.
- [21] Hongbing J.H., Wang, S., Ouyang, Z., Zhang, S., Sun, C., Liu, X., and Zhou, D (2004) Geochemistry of red residua underlying dolomites in karst terrains of Yunnan-Guizhou Plateau. I. The formation of the Pingba profile. *Chemical Geology*, 203, 1–27.
- [22] Johannesson, K.H., Stetzenbach, K.J., Hodge, V.F., and Lyons, W.B (1996) Rare earth element complexation behavior in circumneutral pH groundwaters: assessing the role of carbonate and phosphate ions. *Earth and Planetary Science Letters*, 139, 305–319.
- [23] Kanazawa, Y., and Kamitani, M (2006) Rare earth minerals in the world. *Journal of Alloy Compounds*, 408–412, 1339–1343.
- [24] Koppi, A.J., Edis, R., Foeld, D.J., Geering, H.R., Klessa, D.A., and Cockayne, D.J.H (1996) REEs trends and Ce-U-Mn associations in weathered rock from Koongarra, northern territory, Australia. *Geochimica et Cosmochimica Acta*, 60, 1695–1707.
- [25] Liaghat, S., Hosseini, M., and Zaravandi, A (2003) Determination of the origin and mass change geochemistry during bauxitisation process at the Hangam deposit, SW of Iran. *Geochemical Journal*, 37, 627–637.
- [26] MacLean, W.H., and Kranidiotis, P (1987) Immobile elements as monitors of mass transfer in hydrothermal alteration: Phelps Dodge massive sulfide deposit. Matagami. Quebec. *Economical Geology*, 82, 951–962.
- [27] MacLean, W.H., Bonavia, F.F., and Sanna, G (1997) Argillite debris converted to bauxite during karst weathering: Evidence from immobile element geochemistry at the Olmedo Deposit, Sardinia. *Mineralium Deposita*, 32, 607–616.
- [28] Mameli, P., Mongelli, G., Oggiano, G., and Dinelli, E (2007) Geological, geochemical and mineralogical features of some bauxite deposits from Nurra (Western Sardinia, Italy): insights on conditions of formation and parental affinity. *International Journal of Earth Sciences*, 96, 887–902.
- [29] McLenan, S.M (1989) Rare earth elements in sedimentary rocks: influence of provenance and processes. In: Lipin, B.R., Macky, G.A. (Eds.), *Geochemistry and Mineralogy of Rare Earth Elements*. Mineralogical Society of

- granulites of central Spain. *Chemical Geology*, 200, 293–323.
- [54] Wang, Q.F., Deng, J., Liu, X.F., Zhang, Q. Z., Sun, S.L., Jiang, C.Z., and Zhou, F (2010) Discovery of the REE minerals and its geological significance in the Quyang bauxite deposit, West Guangxi, China. *Journal of Asian Earth Sciences*, 39, 701–712.
- [55] White, A.F., Bullen, T.D., Schulz, M.S., Blum, A.E., Huntington, T.G., and Peters, N.E (2001) Differential rates of feldspar weathering in granitic regoliths. *Geochimica et Cosmochimica Acta*, 65, 847–869.
- [41] Patino, L.C., Velbel, M.A., Pirice, J.R., and Wade, J.A (2003) Trace elements mobility during spheroidal weathering of basalts and andesites in Hawaii and Guatemala. *Chemical Geology*, 202, 343–364.
- [42] Paul, D.K (1969) Titanium in bauxite. *Indian Minerals*, 23 (3), 23–28.
- [43] Pokrovsky, O.S., Schott, J., and Dupre, B (2006) Trace element fractionation and transport in boreal rivers and soil porewaters of permafrost-dominated basaltic terrain in Central Siberia. *Geochimica et Cosmochimica Acta*, 70, 3239–3260.
- [44] Roaldset, E (1973) Rare earth elements in different size fractions of marine quick clay from Ullensaker, and a till from Upper Numedal, Norway. *Clay Minerals*, 14, 229–240.
- [45] Rollinson, H (1993) Using geochemical data: evaluation, presentation, interpretation. Longman Scientific and Technical, 352p.
- [46] Ronov, A.B., Balashov, Y.A., and Migdisov, A (1967) Geochemistry of the rare earths in the sedimentary cycle. *Geochemistry International*, 4, 1–17.
- [47] Roy, P.D., and Smykatz-Kloss, W (2007) REE geochemistry of the recent playa sediments from the Thar Desert, India: an implication to playa sediment provenance. *Chemie der Erde—Geochemistry*, 67, 55–68.
- [48] Schellmann, W (1981) Considerations on the definition and classification of laterites. In: Proceedings, International Seminar on Lateritization Processes, Trivandrum, December 1979: Rotterdam, A.A. Balkema, 1–10.
- [49] Steinberg, M., and Courtois, C (1976) Le comportement des terres rares au cours de l'altération et ses séquences. *Bulletin de la Société Géologique de France*, 18, 13–20.
- [50] Taylor, S.R. and McLennan, S.M (1985) The continental crust: Its composition and evolution. Blackwell, Oxford, 312p.
- [51] Taylor, S.R., and McLennan, S.M (1988) The significance of the rare earths in geochemistry and cosmochemistry. In: Gschneidner, K.A., Eyring, L. (Eds.), *Handbook on the Physics and Chemistry of Rare Earths*, vol. 11. North-Holland, Amsterdam, pp. 485–578 (Chapter 79).
- [52] Temur S., and Kansun G (2006) Geology and petrography of the Mastadagi diasporic bauxites, Alanya, Antalya, Turkey. *Journal of Asian Earth Sciences*, 27, 512–522.
- [53] Villaseca, C., Martin Romera, C., De La Rosa, J., and Barbero, L (2003) Residence and redistribution of REE, Y, Zr, Th and U during granulite-facies metamorphism: behavior of accessory and major phases in peraluminous